

УДК 536.242, 519.6, 544.778.3

**Численное моделирование  
естественного конвективного теплообмена  
в вертикально ориентированном цилиндрическом  
кольцевом канале с источниками тепла  
для наножидкости на основе воды  
с наночастицами меди**

**Ф. Мебарек-Удина<sup>1</sup>, Р. Бессаи<sup>2</sup>**

<sup>1</sup> Университет 20 августа 1955 г., Скикда, Алжир

<sup>2</sup> Университет Ментури-Константин, Константин, Алжир

E-mail: oudina2003@yahoo.fr, f.mebarek\_oudina@univ-skikda.dz

Статья посвящена численному исследованию естественной конвекции наножидкости «вода–наночастицы Cu», помещенной в вертикальный кольцевой канал с двумя нагревателями различной длины. Моделирование проводилось с помощью метода конечных объемов с применением алгоритма SIMPLER. На внутренней стенке канала имеются адиабатические участки и дискретные источники тепла. Верхняя и нижняя стенки теплоизолированы, а температура внешней стенки поддерживается пониженней. Показано влияние объемной доли твердой фазы наножидкости на гидродинамику и тепловые характеристики теплообмена, например, на среднее и локальное числа Нуссельта, линии тока, картину изотерм. Моделирование проведено для числа Рэлея в интервале от  $10^3$  до  $10^6$  и объемной доли наночастиц в интервале от 0 до 0,1. Показано, что теплоотдача и температура нагревателей зависят от числа Рэлея, объемной доли наночастиц и длины нагревателей.

**Ключевые слова:** естественная конвекция, наножидкость, источник тепла, кольцевой канал.

**Введение**

Стабильную суспензию с частицами металлов, их окислов или керамики с размерами в нанодиапазоне ( $< 100$  нм), получаемую на основе обычно применяемых жидкостей, называют наножидкостью. Одним из преимуществ использования наножидкости является усиление переноса тепла, что важно для практического использования тепловых устройств. Этот новый класс жидкостей, содержащих диспергированные в несущей жидкости частицы размером около 50 нм, впервые был описан в работе [1]. Исследуемая тематика лежит в рамках инновационных технологий и имеет практическую важность для различных сфер применения: экологии, генерации и хранения энергии, охлаждения электронных компонентов, биологии, медицинской диагностики, очистки воды и других. В последнее десятилетие интенсификация конвективного теплообмена с помощью наножидкости стала предметом ряда экспериментальных и численных исследований. В работе [2] для полости, заполненной наножидкостью и имеющей неоднородный нагрев, было обнаружено усиление теплообмена с ростом объемной доли наночастиц в жидкости.

Важным параметром для практического применения является вязкость наножидкости, поскольку она непосредственно влияет на величину перепада давления в потоке при вынужденной конвекции. Увеличение вязкости в наножидкостях по сравнению с чистой жидкостью исследовалось в работах [3, 4]. Было указано, что важно получить наножидкость с вязкостью ниже, чем у несущей жидкости, чтобы использовать её в прикладных устройствах.

Работы [5, 6] были посвящены естественной конвекции наножидкости в кольцевом канале с концентрическими стенками при варьировании величин вязкости и теплопроводности. В работе [7] изучался конвективный теплообмен для случая наножидкости на основе наночастиц меди (Cu), помещенной в несимметричный горизонтальный канал. Были описаны влияние эксцентриситета такого кольцевого канала, соотношения сторон, объемной доли наночастиц в суспензии, чисел Рэлея и Прандтля на среднее число Нуссельта. В работе [8] эти же авторы представили результаты численного моделирования для смешенного конвективного потока и теплообмена для наножидкости « $\text{Al}_2\text{O}_3$ -вода» для случая асимметричного горизонтального канала с вращающимся внутренним цилиндром. В работе [9] было проведено численное моделирование для оценки влияния числа Рэлея и объемной доли наночастиц на интенсификацию теплообмена для случая двухмерного горизонтального кольцевого канала. Было обнаружено, что рост объемной доли наночастиц в жидкости вызывает увеличение числа Нуссельта и максимальной величины функции потока.

В работе [10] изучалось влияние двух нагревателей одинаковой длины, помещенных в вертикальный цилиндрический кольцевой канал, для варианта обычной жидкости (без наночастиц). В исследовании [11] при похожих условиях моделировалась ситуация, где имело место влияние длины одного из нагревателей. Численное исследование устойчивости течения жидкости в вертикальном кольцевом канале с тепловыми источниками различной длины было проведено в работе [12]. Было показано, что длина нагревателя влияет на интенсивность теплообмена и устойчивость течения. Охлаждение электрического или электронного оборудования (изменение нагрева внутренней стенки) являются самыми важными вопросами при реализации практических приложений.

В настоящей работе проводится численное моделирование задачи теплообмена со стационарной ламинарной естественной конвекцией наножидкости, которая помещена в межстенное пространство между двумя вертикальными коаксиальными цилиндрами; при этом рассматриваются нагреватели различной длины. Представленное численное исследование обусловлено необходимостью иметь возможность предсказать как влияют на теплообмен объемная доля частиц, тип наночастиц, длина источников тепла и число Рэлея.

### Математическая постановка задачи

Схема исследуемой задачи приведена на рис. 1: полость заполнена наножидкостью на основе воды с частицами меди (Cu), эта жидкость нагревается двумя дискретными нагревателями, размещенными на вертикальной стенке внутреннего цилиндра. Такая же конфигурация изучалась в работах [10–13].

Внешний цилиндр имеет более низкую температуру, а нижняя и верхняя стенки полости являются адиабатическими. Внутренний цилиндр имеет необогреваемые адиабатические участки и два дискретных источника тепла.

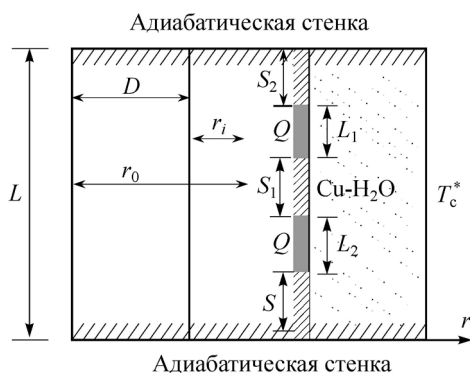


Рис. 1. Кольцевой канал цилиндрической формы, заполненный наножидкостью на основе воды и наночастиц меди, оборудованный двумя дискретными источниками.

Два нагревателя длиной  $L_1$  и  $L_2$  размещены на внутренней стене полости, каждый из них генерирует тепловой поток, равный  $Q$ . При этом безразмерная длина нижнего нагревателя  $\varepsilon_2 = L_2/L$  остается постоянной и равной 0,2, а безразмерная длина верхнего нагревателя  $\varepsilon_1 = L_1/L$  изменяется. В этой конфигурации теплоизолированные секции  $S$ ,  $S_1$ ,  $S_2$  располагаются на внутреннем цилиндре следующим образом: от нижней крышки до нижнего нагревателя, между двумя нагревателями, между верхним нагревателем и верхней крышкой соответственно. Первая теплоизолированная секция  $S$  имеет безразмерную величину длины, равную 0,2, при этом отношение радиусов цилиндров  $\lambda = r_o/r_i = 2$ , а соотношение сторон  $A_r = 2$ . Температурный градиент внутри такой системы создает естественную конвекцию наножидкости. Предполагается также, что базовая жидкость и наночастицы находятся в температурном равновесии, наножидкость является ньютоновской несжимаемой жидкостью, а ее течение — ламинарным. Теплофизические свойства базовой жидкости и наночастиц приведены в табл. 1 и 2. Явление переноса тепла в наножидкости можно разделить на две категории. Во-первых, принимается во внимание динамика самих частиц, которая вносит свой вклад в теплопроводность разбавленной неподвижной суспензии. Таким образом, размер частиц, их объемная доля, теплопроводность наночастиц и несущей жидкости, а также температура учитываются в этих моделях для теплопроводности наножидкости. Второй аспект связан со структурой наножидкости: это среда, где наночастица играет роль ядра, которое окружено нанослоем жидкости в виде оболочки, которая, в свою очередь, погружена в основную жидкость. Наножидкость в модели имеет постоянные теплофизические свойства (за исключением изменений плотности в архимедовой силе, которые описываются в приближении Буссинеска).

Рассматриваемая задача описывается уравнениями для безразмерных величин:

— уравнение неразрывности:

$$\frac{1}{r} \cdot \frac{\partial(ru)}{\partial r} + \frac{\partial v}{\partial z} = 0; \quad (1)$$

— уравнение для импульса по оси  $r$ :

$$u \frac{\partial u}{\partial r} + v \frac{\partial u}{\partial z} = \frac{1}{\rho_{nf}} \left[ -\frac{\partial P}{\partial r} + \mu_{nf} \left( \frac{1}{r} \cdot \frac{\partial}{\partial r} \left( r \frac{\partial u}{\partial r} \right) + \frac{\partial^2 u}{\partial z^2} \right) \right] \quad (2)$$

и по оси  $z$ :

$$u \frac{\partial u}{\partial r} + v \frac{\partial v}{\partial z} = \frac{1}{\rho_{nf}} \left[ -\frac{\partial P}{\partial z} + \mu_{nf} \left( \frac{1}{r} \cdot \frac{\partial}{\partial r} \left( r \frac{\partial v}{\partial r} \right) + \frac{\partial^2 v}{\partial z^2} + (\rho\beta)_{nf} g (T - T_C) \right) \right]; \quad (3)$$

Таблица 1

## Формулы для описания свойств наножидкости

Свойство наножидкости	Применяемая модель
Теплопроводность	$k_{nf} = k_f \left[ \frac{(k_s - 2k_f) - 2\Phi(k_f - k_s)}{(k_s - 2k_f) + \Phi(k_f - k_s)} \right]$
Теплоемкость	$(\rho C_p)_{nf} = (1 - \Phi)(\rho C_p)_f + (\rho C_p)_s$
Коэффициент теплового расширения	$(\rho\beta)_{nf} = (1 - \Phi)(\rho\beta)_f + \Phi(\rho\beta)_s$
Плотность	$\rho_{nf} = (1 - \Phi)\rho_f + \Phi\rho_s$
Температуропроводность	$\alpha_{nf} = k_{nf} / (\rho C_p)_{nf}$
Динамическая вязкость	$\mu_{nf} = \mu_f / (1 - \Phi)^{2.5}$

— уравнение сохранения энергии:

$$u \frac{\partial T}{\partial r} + v \frac{\partial T}{\partial z} = \alpha_{nf} \left( \frac{1}{r} \cdot \frac{\partial}{\partial r} \left( r \frac{\partial T}{\partial r} \right) + \frac{\partial^2 T}{\partial z^2} \right). \quad (4)$$

При этом вводятся следующие безразмерные переменные:

$$r = \frac{r^* - r_i}{D}, \quad z = \frac{z^*}{D}, \quad u = \frac{u^*}{(\alpha_f/D)}, \quad v = \frac{v^*}{(\alpha_f/D)}, \quad P = \frac{P^*}{\rho_{nf} (\alpha_f/D)^2}, \quad T = \frac{(T^* - T_C^*) k_{nf}}{Q(r_o - r_i)}.$$

Числа Рэлея и Прандтля определяются формулами:  $\text{Ra} = \frac{g \beta_{nf} Q D^4}{k_{nf} \nu_{nf} \alpha_{nf}}$ ,  $\text{Pr} = \frac{\nu_{nf}}{\alpha_{nf}}$ .

Функция тока определена как

$$u = \partial \psi / \partial z, \quad v = -\partial \psi / \partial r. \quad (5)$$

Приведенные уравнения решаются с применением следующих начальных и граничных условий:

для  $t = 0$ :

$$u = v = T = 0, \quad (6)$$

для  $t > 0$ :

при  $r = 1$ :  $u = v = 0$ ,  $\partial T / \partial r = 0$  (участки без нагрева) и  $\partial T / \partial r = -1$  (с источником нагрева) на внутренней стенке,  $(7)$

при  $r = 2$ :  $u = v = 0$ ,  $T = 0$  — холодная внешняя стенка,  $(8)$

при  $z = 0$ :  $u = v = 0$ ,  $\partial T / \partial z = 0$  — адиабатическая нижняя крышка,  $(9)$

при  $z = L/D$ :  $u = v = 0$ ,  $\partial T / \partial z = 0$  — адиабатическая верхняя крышка.  $(10)$

Выражение для локального числа Нуссельта имеет вид

$$\text{Nu} = -\frac{k_{nf}}{k_f} \cdot \left. \frac{\partial T}{\partial r} \right|_{r=1}. \quad (11)$$

Среднее число Нуссельта для нагревателей определяется как

$$\text{Nu}_{avg} \Big|_{source 1} = \frac{1}{\varepsilon_{1,2}} \int_{1,2}^2 \text{Nu} \cdot dz \quad \text{для верхнего нагревателя}, \quad (12)$$

$$\text{Nu}_{avg} \Big|_{source 2} = \frac{1}{\varepsilon_2} \int_1^{0,8} \text{Nu} \cdot dz \quad \text{для нижнего нагревателя}, \quad (13)$$

где индексы source 1 и source 2 соответствуют нижней и верхней позиции первого и второго нагревателей соответственно,

$$\text{Nu}_{avg} = \left( \text{Nu}_{avg} \Big|_{source 1} + \text{Nu}_{avg} \Big|_{source 2} \right) / 2. \quad (14)$$

### Численные методы решения

Для численного решения системы уравнений (1–4) с граничными условиями применялся алгоритм SIMPLER и метод конечных объемов [14], а также алгоритм Томаса (TDMA) для выполнения итераций [15].

Таблица 3

**Зависимость результата моделирования от вычислительной сетки,  
для случая  $Ra = 10^4$ ,  $A_r = 2$ ,  $\lambda = 2$ ,  $\varepsilon = 1$  и  $\Phi = 5\%$**

Размер сетки	$Nu_{avg} _{source 1}$	$Nu_{avg} _{source 2}$	$T_{max}$ (верхний нагреватель)	$T_{max}$ (нижний нагреватель)
$52 \times 102$	6,132771	4,914101	0,180592	0,2253649
$62 \times 128$	5,086690	3,872327	0,2205458	0,2860827
$72 \times 148$	5,096194	3,806980	0,211320	0,2925229
$92 \times 182$	5,096195	3,806981	0,211322	0,2925231
$102 \times 212$	5,096196	3,806982	0,211324	0,2925233

*Рис. 2.* Профиль безразмерной осевой скорости  $v$  как функции  $r$  в середине кольцевого канала для различных сеток.  
Сетки:  $50 \times 102$  (1),  $62 \times 128$  (2),  $72 \times 148$  (3),  $92 \times 182$  (4),  $102 \times 212$  (5).

В табл. 3 представлено изменение среднего числа Нуссельта для нижнего и верхнего нагревателей, а также безразмерные максимальные температуры для различных сеток:  $52 \times 102$ ,  $62 \times 128$ ,  $72 \times 148$ ,  $92 \times 182$  и  $102 \times 212$ . Как видно, максимальное различие результатов расчетов на сетках  $72 \times 148$  и  $92 \times 182$  не превышает 0,01 %. Сравнение кривых, представленных на рис. 2, показывает, что разница результатов вычислений составляет менее 1 % для моделирования на сетках  $72 \times 148$  и  $92 \times 192$  или  $92 \times 192$  и  $102 \times 212$ . Сетка с подходящим разрешением для рассматриваемой задачи имела  $92 \times 182$  узлов и обеспечила хороший компромисс между вычислительными ресурсами и точностью моделирования.

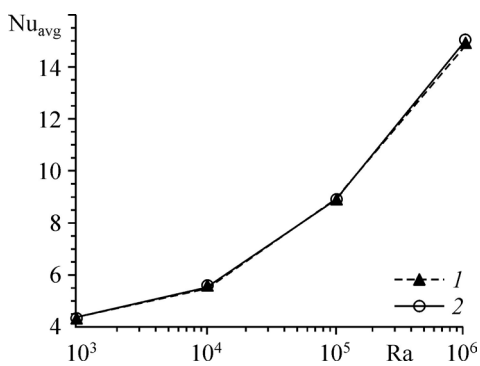
### Результаты и обсуждение

В настоящей статье представлены результаты исследования наножидкости, где вода является базовой жидкостью, число  $Pr = 6,2$ , объемная доля наночастиц меди ( $\Phi$ ) изменяется в пределах от 0 до 0,1, а число Рэлея — от  $10^3$  до  $10^6$ . Исследовалось влияние дискретного нагрева для двух нагревателей одинаковой длины и влияние длины этих нагревателей.

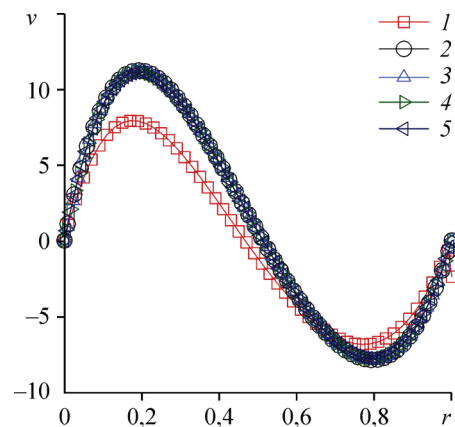
### Верификация модели

Для проверки результатов расчетов, представленной численной методикой, проведено их сравнение с результатами численного моделирования цилиндрической полости с дискретными нагревателями на внутренней стенке, полученными другими авторами.

На рис. 3 приведено сравнение среднего числа Нуссельта из настоящей работы с данными, полученными в работе [16] для параметров  $A_r = 2$ ,  $\lambda = 2,0$ ,  $\varepsilon_1 = 0,2$  и  $\varepsilon_2 = 0,2$  при различных числах Рэлея. Видно, что эти данные хорошо согласуются между собой.



*Рис. 3.* Сопоставление результатов численного моделирования для среднего числа Нуссельта как функции числа Ra для параметров  $A_r = 2$ ,  $\lambda = 2,0$ ,  $\varepsilon_1 = 0,2$ ,  $\varepsilon_2 = 0,2$ .  
1 — данные настоящей работы,  
2 — данные исследования [16].



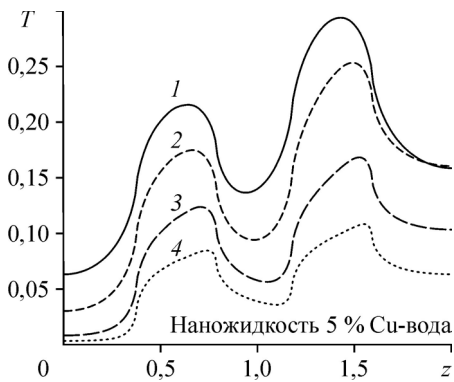


Рис. 4. Температурные профили при различных числах Рэлея.  
 $\text{Ra} = 10^3$  (1),  $10^4$  (2),  $10^5$  (3),  $10^6$  (4).

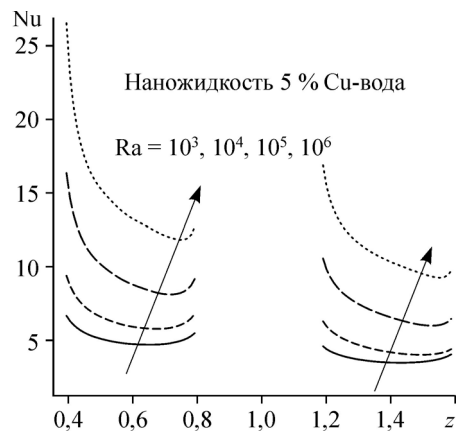


Рис. 5. Изменение локального числа Нуссельта при различных числах Рэлея.

### Влияние числа Рэлея

На рис. 4 изображены температурные профили, вычисленные при различных числах Рэлея. Максимальная температура на нагревателях определяется числом Рэлея, и этот максимум наблюдается для верхнего нагревателя. Видно, что максимальная температура возле нагревателя уменьшается с ростом числа Рэлея. Такое поведение объясняется сменой механизма теплообмена при переходе от низких чисел Рэлея (проводимость) к высоким числам Рэлея (конвективные потоки).

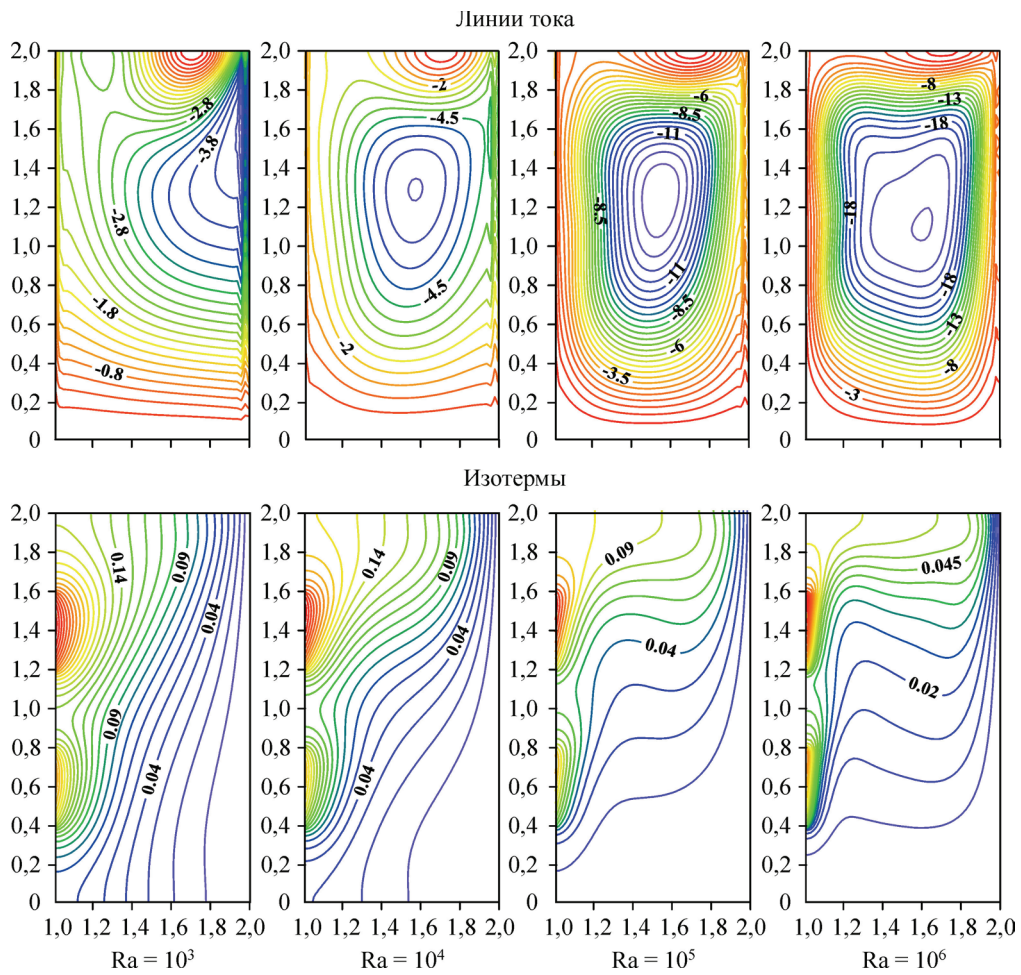
На рис. 5 изображены результаты по оценке влияния числа Рэлея, которое является важным параметром для описания теплоотдачи от поверхности каждого нагревателя. Моделирование показывает, что для наножидкости, имеющей 5 объемных процентов наночастиц меди, локальное число Нуссельта (для нагревателя) возрастает с ростом числа Ra. В случае, когда  $\varepsilon = 1$ , локальное число Нуссельта (Nu) определено для каждого нагревателя, что позволяет изучить интенсивность теплообмена в кольцевом канале. В целом, рост числа Рэлея улучшает естественную конвекцию наножидкости и, следовательно, способствует усилению теплообмена.

На рис. 6 показаны линии тока и изотермы для наножидкости (Си в воде при  $\Phi = 0,05$ ) для источников тепла с длиной  $\varepsilon = 1$  (при различных числах Рэлея). Изменение линий тока, особенно появление внутреннего вихря, а также искажение изотерм, указывают на то, что число Релея оказывает отрицательное влияние на рассматриваемый вид течения. Внутренний вихрь при низких числах Релея не возникает.

### Влияние длин нагревателей

Пусть два нагревателя размещены на внутренней стенке кольцевого канала (рис. 1) и длина верхнего нагревателя варьируется относительно фиксированной длины нижнего нагревателя ( $\varepsilon_2 = 0,2$ ,  $\varepsilon = L_1/L_2 = 0,5, 1, 1,5$ ). Цель исследования — определить влияние размера нагревателей на естественную конвекцию в вертикально ориентированном кольцевом канале. Необходимо учитывать, что при оценке тепловых режимов для электронных элементов важно знать максимальную температуру на нагревателях.

На рис. 7 показано изменение температурного профиля для различных длин нагревателей, определяемых параметром  $\varepsilon$  ( $\varepsilon = 0,5, 1, 1,5$ ), для числа Рэлея, равного  $10^4$ . Вид профиля показывает, что максимальная температура достигается в зоне возле верхнего нагревателя, и эта величина возрастает с увеличением длины нагревателя. Максимальное





и 1,5. Изменение геометрии линий тока и деформация изотерм, особенно вблизи нагревателей, говорит то том, что длина нагревателей влияет на этот тип течения.

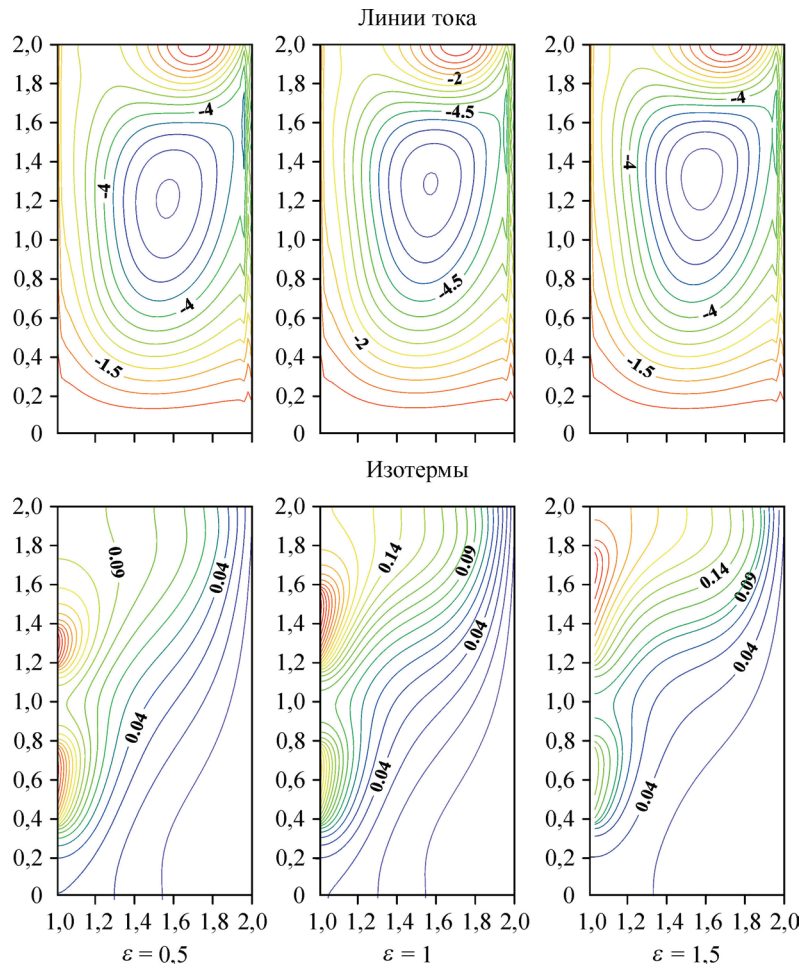


Рис. 9. Влияние длины нагревателя на линии тока и изотермы для наножидкости с  $\Phi = 0,05$  при длинах  $\varepsilon = 0,5, 1, 1,5$ .

Рис. 8. Изменение локального числа Нуссельта вблизи нагревателей при  $\varepsilon = 0,5, 1$  и  $1,5$ .

нагревателя. На рисунке изменение для числа Нуссельта вдоль нижнего нагревателя не очень заметно из-за малых размеров, однако сравнивая локальные числа Нуссельта, можно отметить, что максимум локального числа Нуссельта на нижнем нагревателе выше, чем у верхнего нагревателя.

Линии тока и изотермы для наножидкости с объемной долей наночастиц меди  $\Phi = 0,05$  изображены на рис. 9 для  $Ra = 10^4$  при различной длине источников тепла:  $\varepsilon = 1, 0,5$

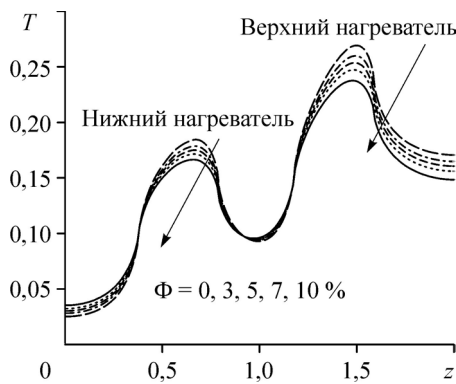


Рис. 10. Температурные профили для наножидкости при различной объемной доле частиц Cu.  
 $\varepsilon = 1$ ,  $Ra = 10^4$ .

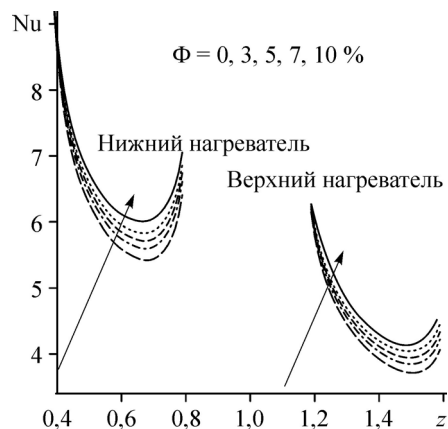


Рис. 11. Изменение локального числа Нуссельта при различных объемных долях наночастиц.  
 $\varepsilon = 1$ ,  $Ra = 10^4$ .

### Влияние объемной доли наночастиц

На рис. 10 показаны температурные профили наножидкости с различной объемной долей наночастиц при  $\varepsilon = 1$  и  $Ra = 10^4$ . С увеличением объемной доли наночастиц с 0 до 0,1 наблюдается снижение максимальной температуры. Видно, что температура для верхнего нагревателя выше, чем для нижнего нагревателя.

На рис. 11 показано локальное число Нуссельта при  $\varepsilon = 1$ ,  $A_r = 2$ ,  $\lambda = 2$  и  $Ra = 10^4$ , которое изменяется вдоль поверхности нагревателей в зависимости от объемных долей наночастиц. Видно, что теплоотдача для нижнего нагревателя интенсивнее, чем для верхнего. Кроме того, теплоотдача с поверхности двух обогревателей усиливается с ростом объемной доли наночастиц в наножидкости.

График для среднего числа Нуссельта ( $Nu_{av}$ ), как функции объемной доли наночастиц (Cu), при числе Рэлея  $Ra = 10^4$  показан на рис. 12. При указанной величине  $Ra$  среднее число Нуссельта растет с увеличением объемной доли наночастиц в жидкости. Этот рост происходит благодаря улучшению эффективной теплопроводности наножидкости с увеличением концентрации наночастиц.

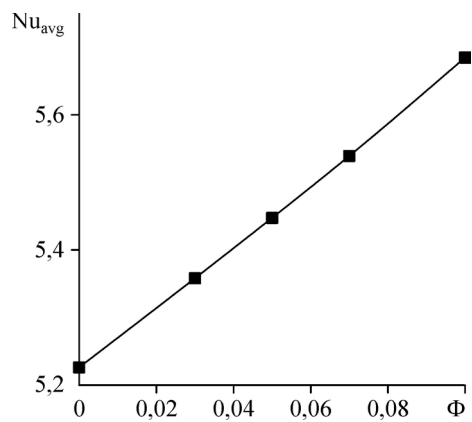
### Выводы

В работе проведено численное исследование естественной конвекции наножидкости в кольцевом канале с двумя дискретными нагревателями на его стенке. Было изучено влияние объемной доли наночастиц, числа Рэлея и длины нагревателей на теплообмен.

По результатам этого исследования можно сделать следующие выводы:

1. Теплоотдача и температура нагревателей зависят от числа Рэлея, объемной доли наночастиц и от длины нагревателей.

Рис. 12. Влияние объемной доли наночастиц (Cu) на число Нуссельта при  $Ra = 10^4$ .



2. Размер нагревателей оказывает существенное влияние на интенсивность теплоотдачи.
3. Максимальная температура понижается с увеличением числа Ra, при этом конвективный режим теплообмена является преобладающим.
4. Максимальная температура понижается с увеличением объемной доли наночастиц.
5. Теплоотдача понижается с увеличением размера нагревателя (верхнего или нижнего).
6. Теплоотдача интенсивнее на нагревателе, расположенному у нижней стенки.
7. Усиление теплоотдачи наблюдается для нагревателя с малым размером.
8. Влияние наночастиц на теплоотдачу наблюдается для всех чисел Рэлея.
9. Теплоотдача усиливается с ростом объемной доли наночастиц.

### Список обозначений

$A_r = H/D$ — соотношение сторон,	Ra — число Рэлея,
$D$ — длина, м,	$r^*, z^*$ — радиальная и осевая координаты,
$g$ — ускорение силы тяжести, $\text{м}/\text{с}^2$ ,	соответственно,
$k$ — теплопроводность, $\text{Вт}/(\text{м}\cdot\text{К})$ ,	$r_i, r_0$ — внутренний и внешний диаметры, м,
$L$ — высота канала, м,	$t$ — безразмерное время,
$L_1$ — характеристическая длина нижнего нагревателя, м,	$T^*$ — температура, К,
$L_2$ — характеристическая длина верхнего нагревателя, м,	$T$ — безразмерная температура,
$\text{Nu}_{\text{avg}}$ — среднее число Нуссельта,	$u^*$ — радиальная компонента скорости, $\text{м}/\text{с}$ ,
$P$ — безразмерное давление,	$v^*$ — осевая компонента скорости, $\text{м}/\text{с}$ ,
$\text{Pr}$ — число Прандтля,	$u, v$ — радиальная и осевая безразмерные скорости
$Q$ — тепловой поток, $\text{Вт}/\text{м}^2$ ,	соответственно.

### Греческие символы

$\alpha$ — температуропроводность жидкости, $\text{м}^2/\text{с}$ ,	$\varepsilon_1 = L_1/L$ — безразмерная длина верхнего
$\beta$ — коэффициент теплового расширения	нагревателя,
жидкости, $\text{К}^{-1}$ ,	$\varepsilon_2 = L_2/L$ — безразмерная длина нижнего
$\lambda$ — отношение радиусов,	нагревателя,
$\rho$ — плотность жидкости, $\text{кг}/\text{м}^3$ ,	$\Phi$ — объемная доля наночастиц,
$\tau$ — время, с,	$\nu$ — кинематическая вязкость жидкости, $\text{м}^2/\text{с}$ ,
$\varepsilon = L_1/L_2$ — отношение длин нагревателей,	$\psi$ — безразмерная функция тока.

### Индексы

$f$ — жидкость (чистая вода),	$nf$ — наножидкость,
$C$ — холодный,	$r, z$ — радиальное и осевое направления
$H$ — горячий,	соответственно,

$s$  — твердая фаза (наночастицы меди).

### Список литературы

1. Choi U.S. Enhancing thermal conductivity of fluids with nanoparticles // ASME Fluids Engng Division. 1995. Vol. 231. P. 99–105.
2. Khanafer K., Vafai K., Lightstone M. Buoyancy-driven heat transfer enhancement in a two-dimensional enclosure utilizing nanofluids // Int. J. Heat Mass Transfer. 2003. Vol. 46. P. 3639–3653.
3. Masoumi N., Sohrabiand N., Behzadmehr A. A new model for calculating the effective viscosity of nanofluids // J. Physics D. Applied Physics. 2009. Vol. 42. P. 055501-1–055501-6.
4. Murshed S.M.S., Leong K.C., Yang C. Investigations of thermal conductivity and viscosity of nanofluids // Int. J. Thermal Sci. 2008. Vol. 47. P. 560–568.
5. Abu-Nada E. Effects of variable viscosity and thermal conductivity of CuO-water nanofluid on heat transfer enhancement in natural convection, mathematical model and simulation // ASME J. Heat Transfer. 2010. Vol. 132. P. 1–9.
6. Abu-Nada E., Masoud Z., Hijazi A. Natural convection heat transfer enhancement in horizontal concentric annuli using nanofluids // Int. Communications in Heat Mass Transfer. 2008. Vol. 35. P. 657–665.
7. Habibi-Matin M., Pop I. Natural convection flow and heat transfer in an eccentric annulus filled by Copper nanofluid // Int. J. Heat and Mass Transfer. 2013. Vol. 61. P. 353–364.

- 
8. **Habibi Matin M., Pop I.** Numerical study of mixed convection heat transfer of a nanofluid in an eccentric annulus // Numerical Heat Transfer. Part A. 2014. Vol. 65. P. 84–105.
  9. **Mehrizi A.A., Farhadi M., Shayamehr S.** Natural convection flow of Cu-water nanofluid in horizontal cylindrical annuli with inner triangular cylinder using lattice Boltzmann method // Int. Communications in Heat Mass Transfer. 2013. Vol. 44. P. 147–156.
  10. **Sankar M., Do Y.** Numerical simulation of free convection heat transfer in a vertical annular cavity with discrete heating // Int. Communications in Heat and Mass Transfer. 2010. Vol. 37. P. 600–606.
  11. **Sankar M., Do Y., Ryu S., Jang B.** Cooling of heat sources by natural convection heat transfer in a vertical annulus // Numerical Heat Transfer. Part A. 2015. Vol. 68, No. 8, P. 847–869.
  12. **Mebarek-Oudina F.** Numerical modeling of the hydrodynamic stability in vertical annulus with heat Source of different lengths // Engng Sci. and Technology. 2017. Vol. 20, No. 4. P. 1324–1333.
  13. **Mebarek-Oudina F., Bessaih R.** Oscillatory magnetohydrodynamic natural convection of liquid metal between vertical coaxial cylinders // J. Applied Fluid Mechanics. 2016. Vol. 9, No. 6. P. 1655–1665.
  14. **Patankar S.V.** Numerical heat transfer and fluid flow. N.-Y.: McGraw-Hill, 1980. 214 p.
  15. **Mebarek-Oudina F., Bessaih R.** Numerical modeling of MHD stability in a cylindrical configuration // J. Franklin Institute. 2014. Vol. 351, No. 2. P. 667–681.
  16. **Sankar M., Park J., Do Y.** Natural convection in a vertical annuli with discrete heat sources // Numerical Heat Transfer. Part A. 2011. Vol. 59. P. 494–516.

*Статья поступила в редакцию 30 июня 2017 г.,  
после доработки — 5 февраля 2018 г.,  
принята к публикации 23 мая 2018 г.*

